

本資料のうち、枠囲みの内容は、
商業機密あるいは防護上の観点
から公開できません。

| | |
|------------------|------------|
| 東海第二発電所 工事計画審査資料 | |
| 資料番号 | 工認-030 改3 |
| 提出年月日 | 平成30年2月14日 |

V-1-3-5 使用済燃料貯蔵槽の水深の遮蔽能力に関する説明書

目 次

| | |
|------------------------|----|
| 1. 概 要 | 1 |
| 2. 基本方針 | 1 |
| 3. 使用済燃料プールにおける水遮蔽の評価 | 2 |
| 3.1 評価条件 | 2 |
| 3.1.1 使用済燃料の計算条件 | 2 |
| 3.1.2 使用済制御棒の計算条件 | 2 |
| 4. 線 源 | 2 |
| 4.1 使用済燃料の線源強度 | 2 |
| 4.2 使用済制御棒の線源強度 | 3 |
| 4.2.1 評価方法 | 3 |
| 4.2.2 放射化断面積 | 3 |
| 4.2.3 照射期間及び中性子束 | 4 |
| 4.2.4 制御棒の線源強度評価結果 | 4 |
| 5. 遮蔽計算 | 5 |
| 5.1 計算方法 | 5 |
| 5.2 線量率計算 | 6 |
| 5.2.1 計算モデル | 6 |
| 5.2.2 計算結果 | 9 |
| 6. サイフォンブレイク用配管の詳細設計方針 | 10 |
| 6.1 地震による損壊について | 11 |
| 6.2 人的要因による機能阻害について | 11 |
| 6.3 異物による閉塞 | 11 |
| 6.4 落下物干渉による破損 | 11 |

1. 概 要

本資料は、「実用発電用原子炉及びその付属施設の技術基準に関する規則」（以下「技術基準規則」という。）第 26 条及び第 69 条第 1 項並びにそれらの「実用発電用原子炉及びその付属施設の技術基準に関する規則の解釈」（以下「解釈」という。）に基づき、使用済燃料貯蔵槽（以下「使用済燃料プール」という。）の水深による放射線の遮蔽能力に関し、原子炉建屋原子炉棟 6 階における線量率が、基準線量率（10 mSv/h）以下*を満足できることを説明するものである。

なお、通常運転時における水深の遮蔽能力に関しては、技術基準規則の要求事項に変更がないため、今回の申請において変更は行わない。

今回は、重大事故に至るおそれがある事故として、使用済燃料プールからの水の漏えいその他の要因により当該使用済燃料プール水位が低下した場合における放射線の遮蔽能力について説明するものである。

注記 *：基準線量率は、原子炉建屋原子炉棟 6 階での作業時間から 10 mSv/h に設定した。原子炉建屋原子炉棟 6 階での操作は、重大事故等対応要員による使用済燃料プールへの注水準備操作（可搬型スプレイノズルの設置及びホース敷設等）を想定しており、原子炉建屋原子炉棟 6 階を含め、原子炉建屋内に滞在する時間は 2.2 時間以内である。そのため、重大事故等対応要員の被ばく量は最大でも 22 mSv であり、緊急作業時における被ばく限度の 100 mSv に対して余裕がある。

2. 基本方針

技術基準規則第 69 条第 1 項及びその解釈に基づき、使用済燃料プールに接続する配管が破断した場合に原子炉建屋原子炉棟 6 階における線量率 10 mSv/h 以下を満足するため、使用済燃料プール水位は、使用済燃料プール内の燃料体又は使用済燃料（以下「燃料体等」という。）及び使用済制御棒からの放射線の遮蔽に必要となる水位高さ以上を維持できる設計とする。

また、使用済燃料プール入口配管については、サイフォン現象による漏えいが防止できる配管（サイフォンブレイク用配管）を備えつけ、弁類等の機器を設置しない単管とするとともに、使用済燃料プール水位の低下が燃料プール冷却浄化系戻り配管水平部下端位置で停止する設計とする。

サイフォンブレイク用配管は、「実用発電用原子炉に係る使用済燃料貯蔵槽における燃料損傷防止対策の有効性評価に関する審査ガイド」を参考に、耐震性も含めて機器、弁類等の故障及び誤操作等によりその機能を喪失することのない設計とする。

3. 使用済燃料プールにおける水遮蔽の評価

施設定期検査作業での原子炉建屋原子炉棟 6 階における線量率 10 mSv/h 以下を満足するために必要な水遮蔽厚を算定する。

3.1 評価条件

3.1.1 使用済燃料の計算条件

- (1) 使用済燃料プールの水面における線量率の計算においては貯蔵容量分（2250 体）の使用済燃料貯蔵を想定する。
- (2) 使用済燃料プールの水温は 100 °C とし、水の密度は 0.958 g/cm³* とする。
- (3) 使用済燃料は使用済燃料有効部（約 7.8 m×約 7.8 m×約 3.7 m）を線源とする。燃料有効部以外の燃料集合体構造部材による遮蔽効果は考慮せず、遮蔽能力が構造部材より小さい水とみなす。
- (4) 使用済燃料貯蔵ラックによる遮蔽効果は考慮せず、ラック材料よりも遮蔽効果の小さい水とみなす。

3.1.2 使用済制御棒の計算条件

- (1) 使用済制御棒からの線量率計算においては制御棒・破損燃料貯蔵ラック又は制御棒貯蔵ハンガ全てに使用済制御棒が貯蔵された状態を想定する。
- (2) 使用済燃料プールの水温は 100 °C とし、水の密度は 0.958 g/cm³* とする。
- (3) 使用済制御棒は実際の制御棒・破損燃料貯蔵ラック又は制御棒貯蔵ハンガの配置と面積を包絡するような直方体線源とする。使用済制御棒は、遮蔽能力が構造部材より小さい水とみなす。
- (4) 制御棒・破損燃料貯蔵ラック又は制御棒貯蔵ハンガによる遮蔽効果は考慮せず、ラック材料又はハンガ材料よりも遮蔽効果の小さい水とみなす。

注記 * : 「1999 日本機械学会蒸気表」

4. 線 源

4.1 使用済燃料の線源強度*¹

使用済燃料プール水深評価では、プール内ラックに貯蔵されている使用済燃料を線源として考える。使用済燃料の照射期間は 10⁶ 時間（約 114 年）とし、原子炉停止後貯蔵までの期間として、9 日*²を考慮する。なお、原子炉運転中の燃料集合体 1 体当たりの熱出力は 4.31 MW（9×9 燃料（A 型））とする。このときの線源強度は第 1 表となる。

第 1 表 使用済燃料の線源強度

| 群 | エネルギー (MeV) | 線源強度 ($\text{cm}^{-3} \cdot \text{s}^{-1}$) |
|---|----------------|--------------------------------------------------|
| 1 | 1.0 | 4.4×10^{11} |
| 2 | 2.0 | 7.5×10^{10} |
| 3 | 3.0 | 1.3×10^9 |
| 4 | 4.0 | 2.7×10^7 |

注記 *1: Blizard E. P. and Abbott L. S., ed., “REACTOR HANDBOOK. 2nd ed. Vol. III Part B, SHIELDING”, INTERSCIENCE PUBLISHERS, New York, London, 1962”

*2: 原子炉停止後貯蔵までの期間 9 日とは、過去の全燃料取出完了日の実績を踏まえ余裕を見た日数を設定した。

4.2 使用済制御棒の線源強度

4.2.1 評価方法

(1) 制御棒の線源強度は、ORIGEN2 コード*3を使用する。

ORIGEN2 では、放射化断面積、照射期間及び冷却期間、照射の中性子束並びに被照射材料（制御棒）の物質組成を入力することで中性子による放射化放射能を計算する。なお、評価に用いる解析コード ORIGEN2 の検証、妥当性評価については、付録 21「計算機プログラム（解析コード）の概要」に示す。

(2) 各制御棒（Hf, B₄C）の単位体積当たりの線源強度は、各々制御棒を上部、中間部、下部の 3 領域に分割し算出する。

(3) 制御棒は、タイプ（Hf, B₄C）別に冷却期間の異なる制御棒が混在するため、貯蔵制御棒全体の放射能を保存して線源体積で加重平均（均質化）した線源強度を設定する。

注記 *3: A. G. Croff, “A User’s Manual for the ORIGEN2 Computer code”, ORNL/TM-7175, Oak Ridge National Laboratory, (1980)

4.2.2 放射化断面積

ORIGEN2 に入力する放射化断面積は、JENDL-3.3 ベース BS340J33.LIB を適用する（BWR STEP-III ボイド率 40% UO₂ < 60 GWd/TIHM）。

4.2.3 照射期間及び中性子束

照射期間及び中性子束を第2表に示す。なお、定検期間等による減衰は考慮しない。各制御棒の冷却期間を考慮する。

第2表 制御棒の照射期間及び中性子束

| 制御棒 タイプ | 照射期間 (d) | 全中性子束 ($\text{cm}^{-2}\cdot\text{s}^{-1}$) |
|--------------------|-------------------|-------------------------------------------------|
| H f 型 | 1.2×10^3 | 2.3×10^{14} |
| B ₄ C 型 | 4.4×10^2 | 2.3×10^{14} |

4.2.4 制御棒の線源強度評価結果

以上の条件に基づき評価した制御棒貯蔵ラック及び制御棒貯蔵ハンガ内の使用済制御棒線源強度を第3表及び第4表に示す。

第3表 制御棒貯蔵ラック内の使用済制御棒の線源強度

| 群 | ガンマ線 エネルギー (MeV) | 制御棒上部 線源強度 ($\text{cm}^{-3}\cdot\text{s}^{-1}$) | 制御棒中間部 線源強度 ($\text{cm}^{-3}\cdot\text{s}^{-1}$) | 制御棒下部 線源強度 ($\text{cm}^{-3}\cdot\text{s}^{-1}$) |
|----|------------------------|---------------------------------------------------------|----------------------------------------------------------|---------------------------------------------------------|
| 1 | 1.00×10^{-2} | 3.6×10^7 | 4.9×10^8 | 1.3×10^9 |
| 2 | 2.50×10^{-2} | 1.8×10^5 | 1.1×10^6 | 5.1×10^6 |
| 3 | 3.75×10^{-2} | 1.3×10^5 | 8.8×10^5 | 1.1×10^7 |
| 4 | 5.75×10^{-2} | 1.5×10^5 | 9.0×10^5 | 8.9×10^8 |
| 5 | 8.50×10^{-2} | 9.1×10^4 | 5.1×10^5 | 8.3×10^7 |
| 6 | 1.25×10^{-1} | 1.7×10^5 | 1.3×10^6 | 1.8×10^8 |
| 7 | 2.25×10^{-1} | 1.8×10^5 | 1.3×10^6 | 2.6×10^8 |
| 8 | 3.75×10^{-1} | 9.7×10^6 | 2.6×10^8 | 5.9×10^8 |
| 9 | 5.75×10^{-1} | 3.4×10^7 | 1.6×10^8 | 2.7×10^8 |
| 10 | 8.50×10^{-1} | 1.2×10^8 | 8.4×10^8 | 1.6×10^9 |
| 11 | 1.25×10^0 | 7.9×10^7 | 6.9×10^8 | 5.5×10^9 |
| 12 | 1.75×10^0 | 6.3×10^5 | 2.9×10^6 | 5.0×10^6 |
| 13 | 2.25×10^0 | 4.2×10^2 | 3.7×10^3 | 2.4×10^4 |
| 14 | 2.75×10^0 | 9.9×10^0 | 1.1×10^1 | 7.5×10^1 |
| 15 | 3.50×10^0 | 5.9×10^{-3} | 2.1×10^{-10} | 1.0×10^{-9} |
| 16 | 5.00×10^0 | 6.1×10^{-5} | 2.2×10^{-12} | 1.1×10^{-11} |
| 17 | 7.00×10^0 | 0.0×10^0 | 0.0×10^0 | 0.0×10^0 |
| 18 | 9.50×10^0 | 0.0×10^0 | 0.0×10^0 | 0.0×10^0 |
| 合計 | | 2.8×10^8 | 2.4×10^9 | 1.1×10^{10} |

第4表 制御棒貯蔵ハンガの使用済制御棒の線源強度

| 群 | ガンマ線 エネルギー (MeV) | 制御棒上部 線源強度 ($\text{cm}^{-3}\cdot\text{s}^{-1}$) | 制御棒中間部 線源強度 ($\text{cm}^{-3}\cdot\text{s}^{-1}$) | 制御棒下部 線源強度 ($\text{cm}^{-3}\cdot\text{s}^{-1}$) |
|----|------------------------|---------------------------------------------------------|----------------------------------------------------------|---------------------------------------------------------|
| 1 | 1.00×10^{-2} | 8.0×10^4 | 1.5×10^6 | 5.5×10^6 |
| 2 | 2.50×10^{-2} | 1.3×10^4 | 8.7×10^4 | 5.3×10^5 |
| 3 | 3.75×10^{-2} | 7.1×10^3 | 5.0×10^4 | 3.1×10^5 |
| 4 | 5.75×10^{-2} | 8.0×10^3 | 5.6×10^4 | 1.7×10^6 |
| 5 | 8.50×10^{-2} | 3.2×10^3 | 2.2×10^4 | 2.6×10^5 |
| 6 | 1.25×10^{-1} | 1.2×10^3 | 8.6×10^3 | 3.3×10^5 |
| 7 | 2.25×10^{-1} | 4.5×10^2 | 3.1×10^3 | 4.1×10^5 |
| 8 | 3.75×10^{-1} | 1.2×10^3 | 8.6×10^3 | 5.3×10^4 |
| 9 | 5.75×10^{-1} | 6.5×10^3 | 3.0×10^4 | 5.3×10^4 |
| 10 | 8.50×10^{-1} | 2.5×10^4 | 7.3×10^6 | 1.5×10^7 |
| 11 | 1.25×10^0 | 3.5×10^7 | 2.4×10^8 | 1.5×10^9 |
| 12 | 1.75×10^0 | 1.2×10^2 | 5.5×10^2 | 9.7×10^2 |
| 13 | 2.25×10^0 | 1.8×10^2 | 1.3×10^3 | 7.8×10^3 |
| 14 | 2.75×10^0 | 5.7×10^{-1} | 3.9×10^0 | 2.4×10^1 |
| 15 | 3.50×10^0 | 4.1×10^{-16} | 1.9×10^{-15} | 2.7×10^{-15} |
| 16 | 5.00×10^0 | 0.0×10^0 | 0.0×10^0 | 0.0×10^0 |
| 17 | 7.00×10^0 | 0.0×10^0 | 0.0×10^0 | 0.0×10^0 |
| 18 | 9.50×10^0 | 0.0×10^0 | 0.0×10^0 | 0.0×10^0 |
| 合計 | | 3.5×10^7 | 2.5×10^8 | 1.5×10^9 |

5. 遮蔽計算

5.1 計算方法

使用済燃料プール水深の遮蔽の計算は、制御棒ハンガ線源、制御棒貯蔵ラック線源、使用済燃料ラック線源の各線源ごとに、それぞれの真上の原子炉建屋原子炉棟6階床面高さで行う。遮蔽計算には、点減衰核積分法コードである「QAD-CGGP2R コード (ver1.04)」を用いて計算する。なお、評価に用いる解析コード QAD-CGGP2R コード (ver1.04) の検証、妥当性評価については、付録 20「計算機プログラム（解析コード）の概要」に示す。

計算機コードの主な入力条件は以下の項目である。

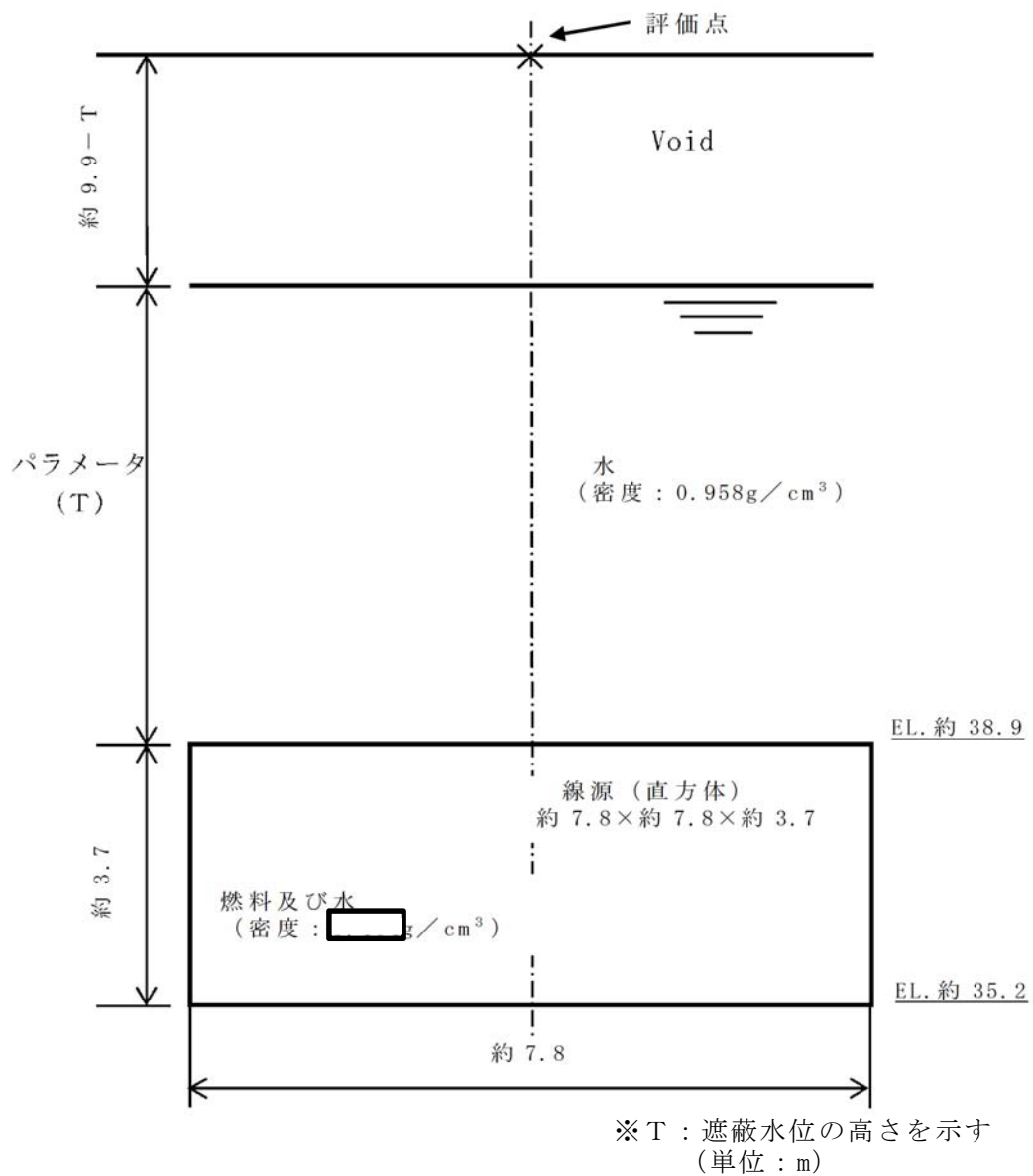
- ・線源強度
- ・遮蔽厚さ（燃料プール水深）
- ・線源からの距離
- ・線源のエネルギー
- ・線源となる使用済燃料、使用済制御棒の形状
- ・遮蔽体の物質の指定

5.2 線量率計算

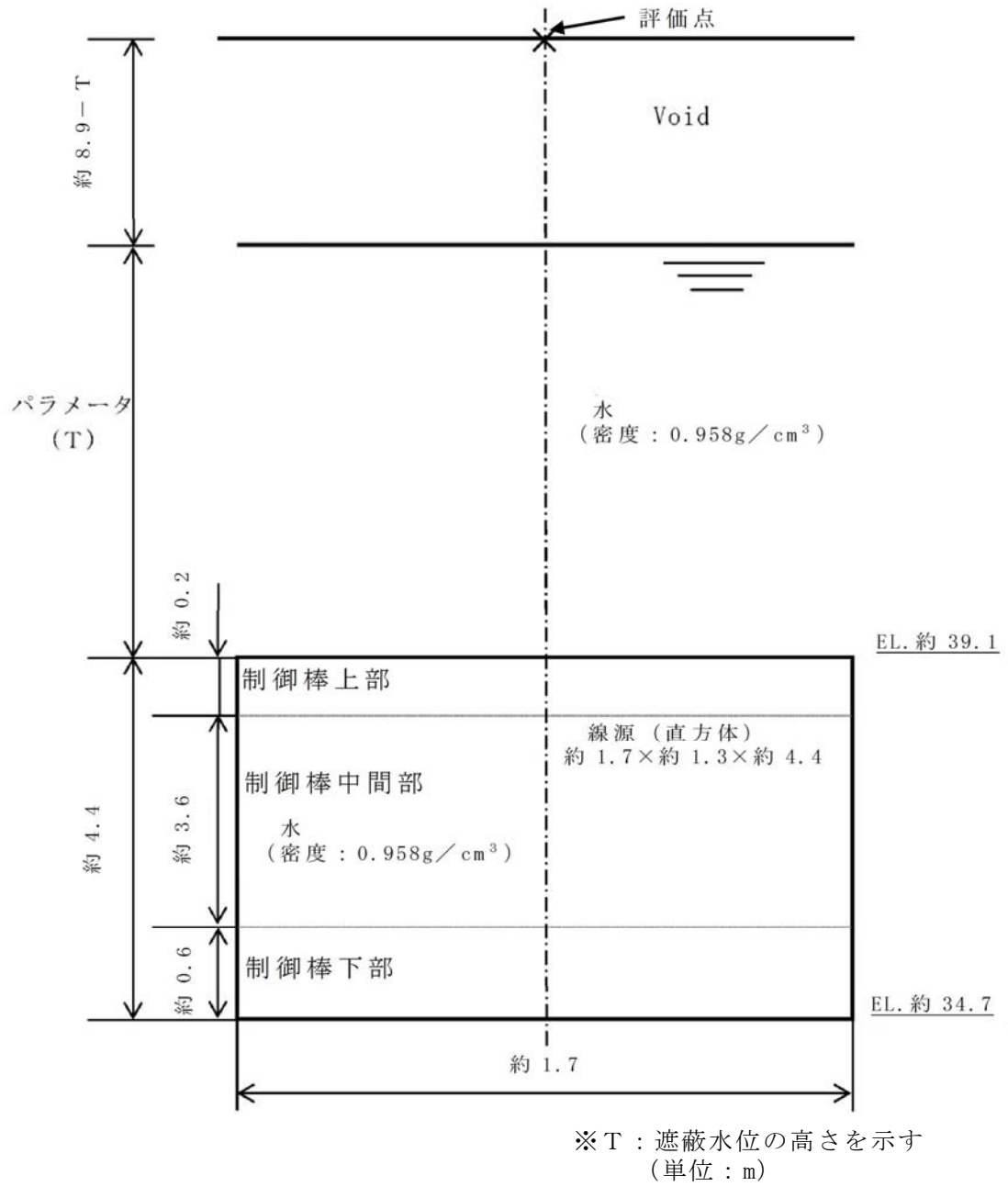
線量率の計算は、5.1 節に示した入力条件を計算機コードに入力して行う。

5.2.1 計算モデル

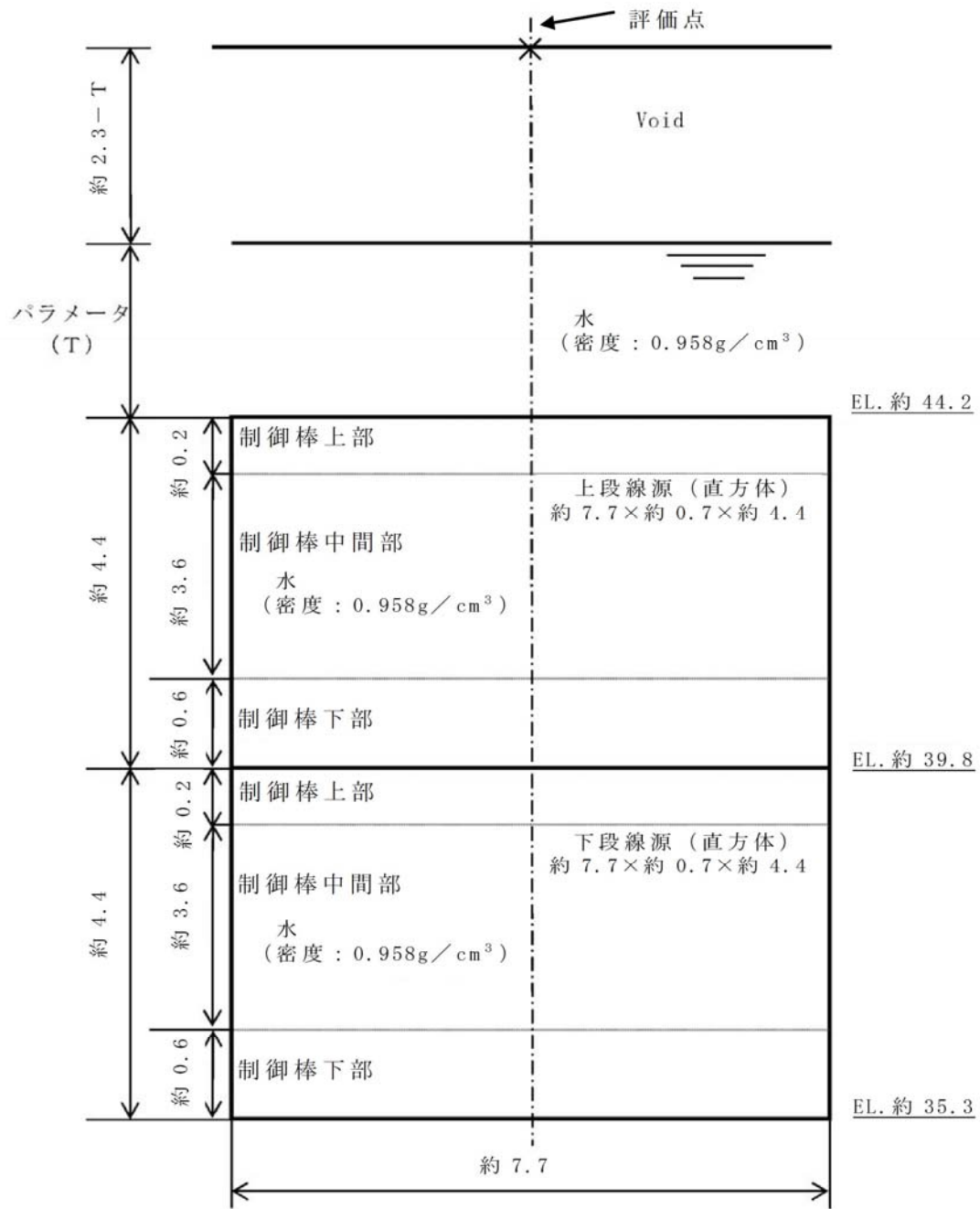
第1図～第3図に使用済燃料プールの計算モデルを示す。線量率計算では、評価点を線源となる機器の中心軸上に設定し、線量率が最大となる位置について線量率を算出する。



第1図 使用済燃料プール水面の線量率計算体系



第 2 図 制御棒貯蔵ラックの線量率計算モデル



※ T : 遮蔽水位の高さを示す
(単位 : m)

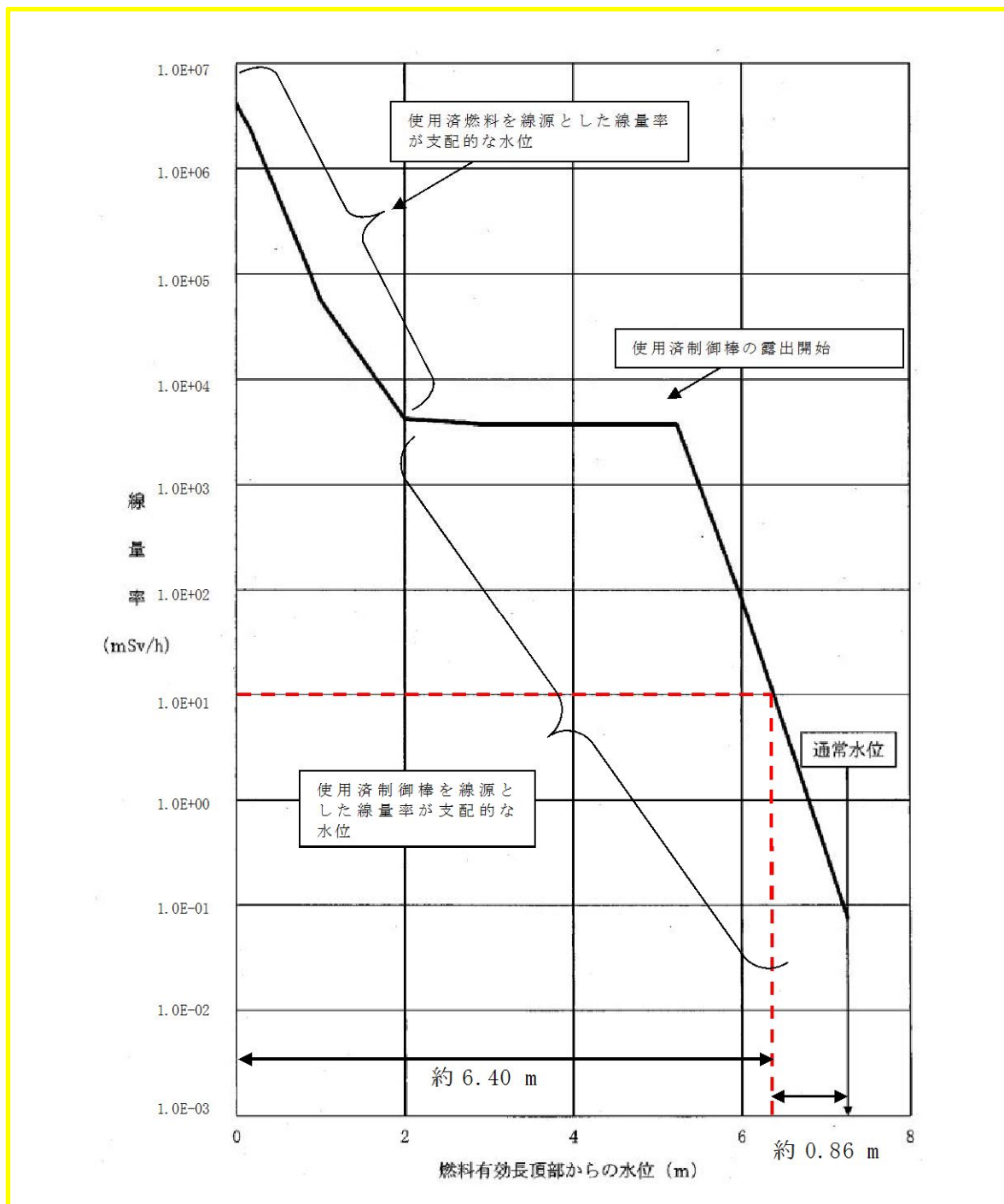
第 3 図 制御棒ハンガに貯蔵された使用済制御棒の線量率計算モデル

5.2.2 計算結果

(1) 線量率の計算結果

使用済燃料プールの線量率と水位の関係の計算結果を第4図に示す。

第4図より、使用済燃料プール周辺の線量率を基準線量率以下とする放射線遮蔽の維持に必要な水遮蔽厚（原子炉建屋原子炉棟6階における線量率が、基準線量率（10 mSv/h）以下を満足できる水遮蔽厚）は、通常水位より約0.86 m下となる。



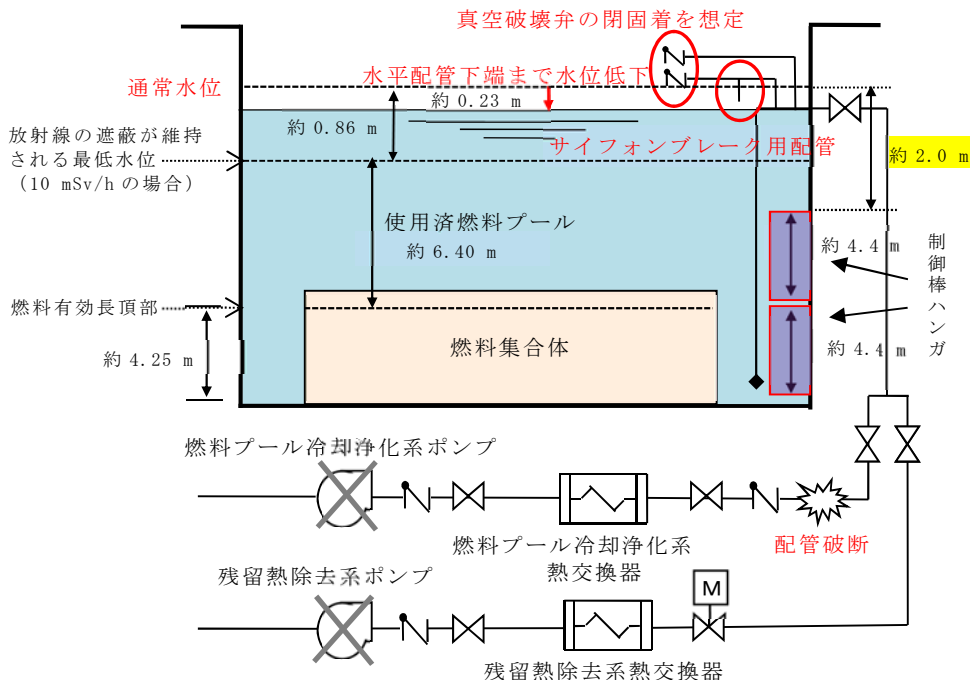
第4図 使用済燃料プールの線量率と水位の関係

(2) 評価結果

(1)で求めた使用済燃料プールの水遮蔽厚と使用済燃料プール接続配管の位置関係を第5図に示す。また、使用済燃料プール入口配管に取り付ける、サイフォンブレイク用配管は、地震、人的要因、異物による閉塞、落下物干渉に対し健全性を有する設計とすることから、配管破断による使用済燃料プールの水位低下位置は、使用済燃料プール出口配管の取付け位置となる。

原子炉建屋原子炉棟6階における線量率が、基準線量率(10 mSv/h)以下となる水遮蔽厚は、(1)結果から、通常水位より約0.86 m下であり、使用済燃料プール水位の低下が燃料プール冷却浄化系戻り配管下端位置で止まる設計とすることで、遮蔽に必要な水遮蔽厚を維持し、技術基準規則第69条第1項及びその解釈の要求を満足する設計とする。

なお、プールの水位が放射線の遮蔽維持水位(通常水位より約0.86 m下)まで低下するのは事象発生から約9.8時間後であり、重大事故等対策として期待している可搬型代替注水中型ポンプによる代替燃料プール注水系(注水ライン)による注水操作の時間余裕はある。



第5図 使用済燃料プールの水遮蔽厚と接続配管の位置関係

6. サイフォンブレイク用配管の詳細設計方針

使用済燃料プール入口配管のサイフォンブレイク用配管については、重大事故等時においても閉塞が発生せず、その効果を期待できるよう、以下のとおり設計する。

6.1 地震による損壊について

ディフューザ配管及びその配管に接続されている真空破壊弁を設置した配管は耐震Sクラスで設計されており，その配管にサイフォンブレイク用配管を接続する設計とする。

6.2 人的要因による機能阻害について

サイフォンブレイク用配管は操作や作動機構を有さない単管のみで構成し，誤操作や故障により機能を喪失することはない設計とする。また，使用済燃料プールの冷却系のサイフォン現象による漏えいが発生した場合においても，操作や作業を実施することなく，サイフォンブレイク用配管開口部レベルまで使用済燃料プール水位が低下すればサイフォン効果を除去することができる設計とする。

6.3 異物による閉塞

サイフォンブレイク用配管（内径φ \square mm）は，燃料プール冷却浄化系のろ過脱塩装置及びストレーナ（24/110 mesh：縦約 1.016 mm×横約 0.23 mm）にてろ過された冷却水が流れる位置に設置し，異物によるサイフォンブレイク用配管の閉塞することはない設計とする。

6.4 落下物干渉による破損

サイフォンブレイク用配管の落下物干渉を考慮する必要がある周辺設備として，原子炉建屋原子炉棟鉄骨梁，原子炉建屋クレーン，燃料取替機等の重量物があるが，これらは基準地震動 S_s に対する耐震評価にて使用済燃料プール内に落下しない設計としている。また，その他手摺等の軽量物については，ボルト固定，固縛による運用としている。

このため，落下物として考えられる設備は軽量物であるが，本配管をステンレス鋼で設計することで，仮にサイフォンブレイク用配管に変形が生じたとしても完全閉塞に至る変形は生じず，サイフォン効果の除去機能は確保される設計とする。